# Nanofibras de Sr<sub>2</sub>SiO<sub>4</sub> Obtidos Pelo Método do Sal Fundido

Jones<sup>1</sup> Leite Soares (PG), Flávio<sup>2</sup> Maron Vichi (PQ)\*.

E-mail: fmvichi@ig.usp.br

1,2 Instituto de Química da Universidade de São Paulo, Cidade Universitária, São Paulo - SP. CEP 05513-970

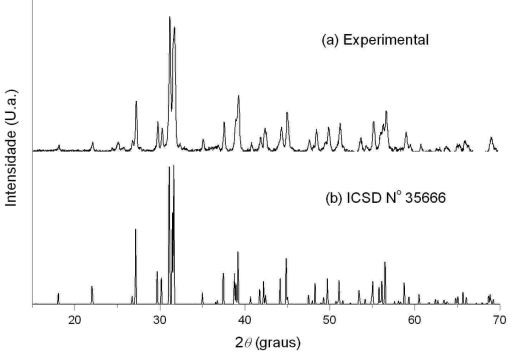
Palavras Chave: Sr<sub>2</sub>SiO<sub>4</sub>, ortossilicato, nanofibras.

#### Introdução

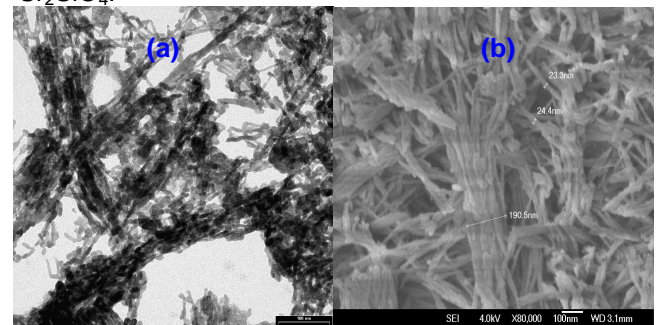
Ortossilicato de estrôncio (Sr<sub>2</sub>SiO<sub>4</sub>) tem sido utilizado como matriz para dopagens com európio em virtude de sua estabilidade química e física<sup>1,2</sup>. Tanto a matriz como fósforos de Sr<sub>2</sub>SiO<sub>4</sub> são sintetizados pelo método de estado sólido ou também pelo método sol-gel, sendo obtidos a 1100-1300°C<sup>2</sup>. O método do sal fundido tem atraído uma atenção especial por ser um dos métodos mais simples e de baixo custo na obtenção de materiais cristalinos, quimicamente puros temperaturas e frequentemente em geral, tempos de reação mais curtos quando comparados com reações convencionais de estado sólido<sup>3</sup>. Em razão disso, sintetizamos o Sr<sub>2</sub>SiO<sub>4</sub> pelo método do sal fundido a 600°C utilizando Sr(NO<sub>3</sub>)<sub>2</sub> e SiO<sub>2</sub> MCM-41, de alta área superficial, como materiais de partida.

## Resultados e Discussão

O  $Sr_2SiO_4$  foi obtido a 600°C (Sr/Si = 2:1) de acordo com o difratograma abaixo:



**Figura 1.** Difratograma do  $Sr_2SiO_4$  (a) obtido a 600°C por 2 horas a 5°C min<sup>-1</sup> e (b) do padrão do  $\alpha'$ - $Sr_2SiO_4$ .



**Figura 2.** Micrografias eletrônicas (a) de transmissão e (b) de varredura do Sr<sub>2</sub>SiO<sub>4</sub>.

 $\begin{array}{c} 2Sr(NO_3)_2 + SiO_2 \rightarrow Sr_2SiO_4 + 4NO_2 + O_2 \ (1) \\ 2Sr(NO_3)_2 + SiO_2 \rightarrow Sr_2SiO_4 + 2N_2 + 5O_2 \ (2) \\ \textbf{Esquema 1.} \ \ Possíveis \ \ reações \ de \ formação \ do \\ Sr_2SiO_4. \end{array}$ 

A Fig. 1 não revela qualquer pico referente a impurezas, tais como a formação de outras espécies de silicatos.

A sílica MCM-41 apresentou uma área superficial de 1267 m² g¹ utilizando o método BET da adsorção/dessorção de N₂.

À medida que se aumenta a temperatura da mistura de reagentes, ocorre não apenas a expansão térmica da rede cristalina do nitrato de estrôncio, mas também um aumento da mobilidade iônica dos íons  $Sr^{2+}$  na rede. Essa mobilidade iônica pode fazer com que esses íons se liguem à superfície da sílica, fazendo com que a temperatura de fusão do sal diminua. Então ocorre a difusão dos íons  $Sr^{2+}$  para o núcleo das partículas de  $SiO_2$  com formação de produtos gasosos, de acordo com o esquema proposto. Os produtos gasosos da Reação 1 são os mesmos já determinados na decomposição térmica do  $Sr(NO_3)_2$  em trabalhos anteriores, mas a Reação 2 é mais favorecida entropicamente devido à formação de maior número de mol de gases.

A Fig. 2a mostra a estrutura tubular do silicato. A Fig. 2b mostra que o silicato tem a forma de nanofibras com diâmetros em torno de 20-25 nm, sendo que essas nanofibras tendem a se sobreporem (190 nm).

#### Conclusões

A formação do  $Sr_2SiO_4$ , de estrutura ortorrômbica, numa temperatura mais baixa se deve a dois fatores: (1) a alta área superficial da sílica MCM-41 e (2) ao baixo ponto de fusão do nitrato de estrôncio (570°C).

### Agradecimentos

Os autores agradecem à CAPES, CNPq e UNICAMP.

Hu, W-H; Sheng, M-H.; Tsai, M-S. J. Alloys Compd. 2009, 467, 491.
Qiao, Y.; Zhang, X.; Ye, X.; Chen, Y.; Guo, H. J.Rare Earths. 2009, 27, 323.

<sup>&</sup>lt;sup>3</sup> Wong, SS.; Mao, Y.; Park, T-J.; Zhang, F.; Zhou, H. Small. 2008, 3, 1122.